

東京大学 正員 奥村敏惠
 住友建設機 正員 佐々木貴一
 川崎製鉄機 ○正員 佐藤政勝

1 まえがき

構造物の安全性および経済的な設計法の見地から、従来の許容応力度設計法に対して、確率論的手法を導入した荷重係数設計法に関心が高まり、既に AASHO の鋼道路桁橋荷重係数設計法、ACI の鉄筋コンクリート部材の終局強度設計法、CEB-FIP の限界状態設計法において荷重係数設計法が提案されている。

この設計法の導入に際しては構造物に作用する荷重および終局耐力、崩壊機構、疲労限度などの終局限界状態の力学的な挙動が把握されなければならない。

合成桁の終局耐力に関する理論的および実験的研究が、Viest, Chapman などにより行われ、終局耐荷力の算定式が B S¹⁾, A A S H O²⁾ に提案されている。しかしながら、これ等の理論的研究は New mark あるいは Hoishen の弾性合成桁理論を塑性域まで拡張したものであり載荷荷重、スタッドジベル間隔および桁断面形状に制約があり一般性に欠ける面がある。本研究では、鋼およびコンクリートの応力とひずみの関係をより実際的に仮定し、スタッドジベルの変形の影響をコンクリートの弾性係数の低減で置き換えた完全合成桁として有限要素法を適用し弾塑性解析を行い、この解析結果と 1, 2 および 3 主桁合成桁橋の破壊実験結果からスタッドジベルを用いた合成桁の終局耐荷力について考察している。

2 理論解析

次のような仮定を用いて、合成桁橋をモデル化する。なお、塑性域における応力とひずみの関係および計算手順は文献 3), 4) に従つて行つている。

合成桁のモデル化に関するもの

a) 合成桁橋の構成する平板は平面応力状態にあるものとする。b) 各要素内の変位分布を座標の一次関数で表示される三角形要素とする。c) 各平板は隣接する平板と面外方向に回転自由なピンで結合されているとする。

塑性に関するもの

d) 降伏の判定は Mises の降伏条件を用いる。e) 塑性ひずみ増分と応力の関係は Reuss の式を用いる。

f) 塑性域においても要素内の変形は微少とする。

スタッドジベルを用いた合成桁に関するもの

g)スタッドジベルの変形による合成桁の剛度の低下および応力分布はコンクリートの弾性係数を低減した完全合成桁のそれと類似するものとする。⁵⁾ h) コンクリートの引張応力は無視する。i) 鋼材およびコンクリートの応力とひずみの関係は Fig. 1 および Fig. 2 に示す関係を用いる。

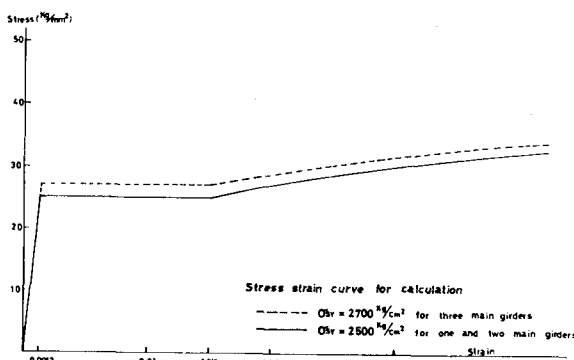


Fig. 1 Stress-strain curves of steel

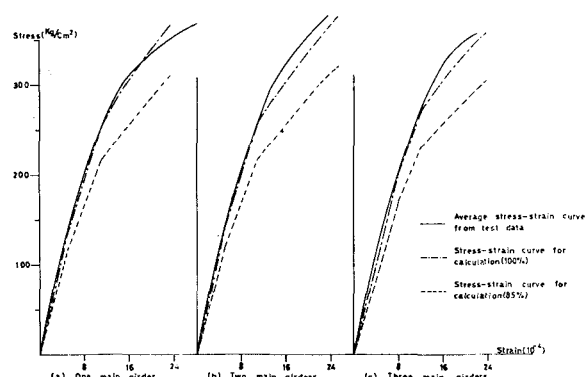


Fig. 2 Stress-strain curves of concrete

3 合成桁橋の実験⁵⁾

試験橋は径間14.0mの1主桁、径間15.0mの2主桁および径間8.0mの3主桁合成橋である。鋼およびコンクリートの材料試験結果をFig.1およびFig.2に示す。

4 終局耐力に関する考案

実験値と計算値の対比は紙面の都合上ここでは割愛するが当日はスライドで説明する予定にしております。その一例として、3主桁合成橋の鋼桁部の塑性域の広がりについて解析結果をFig.3に示す。

BS¹⁾, AASHTO²⁾の規定では、コンクリート応力分布を矩形に、更に、その最大圧縮強度を4週設計基準強度の85%と仮定し、鋼桁が完全降伏する時の耐荷力を終局耐力としている。この低減率15%は床版の応力分布を矩形と仮定した係数で、Whitney³⁾により提案されACIの規定でも採用されている(Fig.4型I)。

Fig.5に径間中央のたわみについて、材料試験から求めたコンクリートの弾性係数を用いた計算値と仮定⁴⁾に従つてその弾性係数を85%とした計算値および実験値を示す。この図の横線はBS,AASHTOに従つた耐荷力と著者らが今回提案したスタッドジベルの変形による低減も含めて、低減係数 $\beta = 0.72$ (0.85×0.85)を採用した場合の耐荷力を示す。これらの計算値と実験値を対比したものTable 1に示す。

終局耐荷力に対するスタッドジベルの影響は2~3%程度であるが、全塑性モーメントの計算に際しては床版のコンクリートの応力分布を矩形とし、最大圧縮強度をスタッドジベルの変形による低減を含めて設計基準強度の72%を採用した方がより安全側で、実際的であるように思われる(Fig.4型II)。

5 文 献

- BS : SIMPLY SUPPORTED BEAM IN BUILDING CP117, Part 1, 1965
- AASHTO : STANDARD SPECIFICATIONS FOR HIGHWAY BRIDGES, Tenth Edition, 1969
- 山下清明ほか2名：立体ラーメン隅角部の応力状態、第23回土木学会学術講演会講演概要集、I-71
- 日本鋼構造協会：有限要素法による弾塑性問題の解析、ユトリック構造解析法講座、1968
- 奥村敏恵、佐藤政勝：床組と横構の剛度を考慮した合成桁橋の解析、土木学会論文報告集、No.222

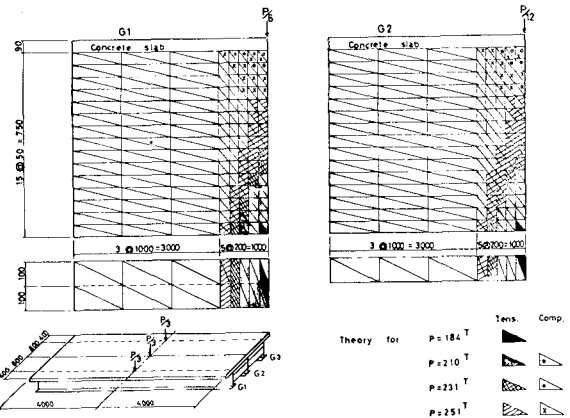
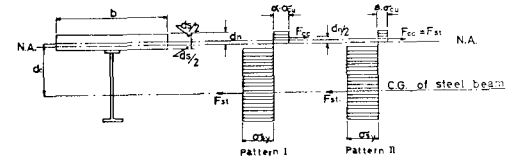
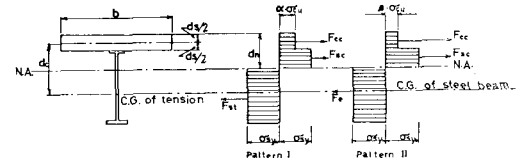


Fig. 3 Plastic regions of three main girders



(a) The composite beam with the neutral axis within the concrete slab



(b) The composite beam with the neutral axis within the steel beam

Fig. 4 Stress diagrams for composite beams

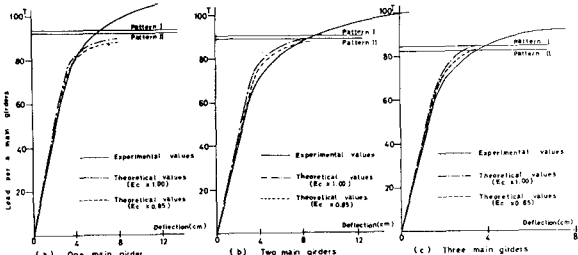


Fig. 5 Load-deflection curves at center

Table 1 Comparison the pattern I with the pattern II per main girder

Composite beam case	Pattern I		Pattern II		F_{EM}	Experimental				
	P_{II}	P_I	P_{II}	P_I		P_{max}	P_{max}			
1 main girder	a	0.85	93.7	0.72	92.3	0.85	89.4	89.0	90.0	108
	a	0.85	90.5	0.72	88.9		89.0	87.5	85.0	99
	a	0.85	78.1	0.72	75.9		82.7	80.9	/	/
2 main girders	b	1.00	80.1	0.85	78.1	1.00	85.0	83.5	78.0	92
	c	1.00	84.4	0.85	82.4		85.0	83.5	78.0	92
	a	1.02	1.05	1.04	1.00		1.17	1.20	/	/
3 main girders	a	1.02	1.02	1.02	1.02	1.00	1.11	1.11	1.16	/
	a	1.03	0.94	0.94	1.02		/	/	/	/
	b	1.03	0.97	0.97	1.02		1.12	1.12	1.18	/
Composite beam case										
	P_{II}	P_I	P_{II}	P_I	P_{max}	P_{max}	P_{max}			
1 main girder	a	1.02	1.05	1.04	1.00	0.96	0.98			
2 main girders	a	1.02	1.02	1.02	1.02	0.94	0.96			
3 main girders	a	1.03	0.94	0.94	1.02	/	/			
	b	1.03	0.97	0.97	1.02	0.92	0.95			
	c	1.02	0.99	0.99	1.02	0.92	0.95			

a,b : Without cross frames and lower lateral bracing
c : With cross frames and lower lateral bracing